

ИЗЛУЧЕНИЕ И РАСПРОСТРАНЕНИЕ РАДИОВОЛН

КОЛЛИНЕАРНАЯ АКУСТООПТИЧЕСКАЯ ДИФРАКЦИЯ СВЕТА

В.А.Емельянов, С.В.Никитин

Чувашский госуниверситет

Получена система дифференциальных уравнений, описывающих коллинеарную дифракцию света на трехмерном акустическом цуге конечной длины с sinc-образной временной огибающей. Исследована зависимость полосы пропускания акустооптической ячейки от соотношения длин цуга и кристалла, пропускание фильтра при дифракции света на акустических цугах с sinc-образной временной огибающей.

Рассмотрим коллинеарное взаимодействие с sinc-образными цугами. Дифракция света на акустическом цуге описывается волновым уравнением:

$$\operatorname{rot} \operatorname{rot} \mathbf{E} + \frac{1}{c^2} \frac{\partial^2}{\partial t^2} (\hat{\varepsilon}_0 \mathbf{E} + \Delta \hat{\varepsilon} A \mathbf{E}) = 0, \quad (1)$$

где E – напряженность электрического поля световой волны, c – скорость света, $\hat{\varepsilon}_0$ – тензор диэлектрической проницаемости среды, $\Delta \hat{\varepsilon}$ – изменение $\hat{\varepsilon}_0$ при воздействии звука, A – акустический цуг.

Акустический цуг A в (1) распространяется вдоль оси x со скоростью v и описывается формулой с sinc-образной временной огибающей:

$$A = \frac{A_0}{\sqrt{1-jD_1x}} \frac{1}{\sqrt{1-jD_2x}} \exp \left[j(\Omega t - Kx) - \frac{y^2}{R_1^2(1-jD_1x)} - \frac{z^2}{R_2^2(1-jD_2x)} \right] \times \operatorname{sinc} \left(-\frac{vt-x}{l} \right), \quad (2)$$

где A_0 – амплитуда звукового цуга на входе в ячейку при $x=0$; D_1, D_2 – расходимость цуга в направлении y, z , соответственно; R_1, R_2 – поперечные размеры цуга при $x=0$ и $t=0$; $D_{1,2}=2W_{1,2}/K_0 R_{1,2}$; $W_{1,2}$ – характеристики анизотропного поперечного расплывания; Ω, K – частота и волновой вектор акустического цуга; $2l$ – длина акустического цуга; $\operatorname{sinc}(\zeta)=\sin \zeta / \zeta$.

Распространение акустического цуга вызывает упругую деформацию среды, изменяя показатели преломления среды, связанные с упругооптическим эффектом, происходит изменение тензора диэлектрической проницаемости. Связь между упругой деформацией и изменением диэлектрической проницаемости:

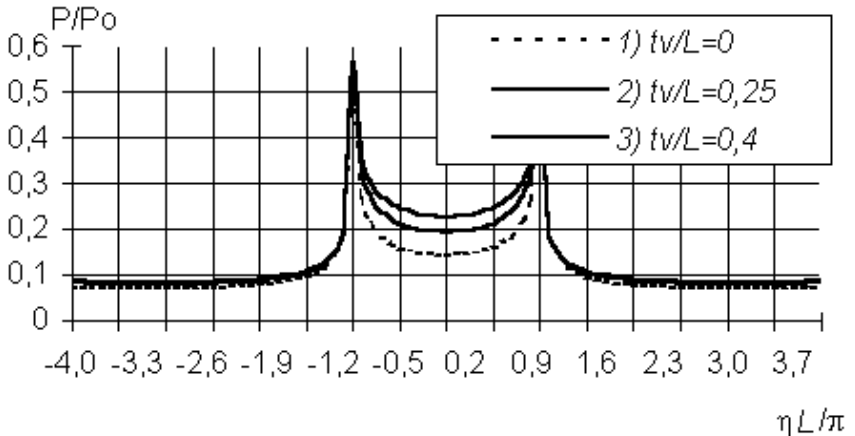
$$\Delta \varepsilon_{ik} = -N_i^2 N_k^2 \sum_{l,m=1}^3 p_{iklm} S_{lm}, \quad (3)$$

где N_i, N_k – главные показатели преломления среды; i, k, l, m – координатные индексы; p_{iklm} – тензор фотоупругости, S_{lm} – деформация кристалла. В свою очередь деформация кристалла вызвана волной упругих деформаций AS_{lm} , пропорциональной A_0 . В такой постановке задача сводится к решению системы двух связанных дифференциальных уравнение первого порядка для спектров прошедшего и дифрагированного поля. Для решения системы уравнений использован метод Эйлера-Коши.

Рассмотрим эффективность акустооптической дифракции. Так как звуковой цуг имеет конечные размеры, эффективность дифракции может быть определена через соотношение потоков мощностей в дифрагированном и падающем пучке света P/P_0 . В световом пучке поток мощности рассчитывается как квадрат модуля распределения светового поля по поперечному сечению пучка s :

$$P = \frac{1}{2} \int_s |\mathbf{E}_t|^2 ds, \quad P_0 = \frac{1}{2} \int_s |\mathbf{E}_d|^2 ds. \quad (4)$$

В качестве примера на рисунке приведены зависимости P/P_0 от длины акустооптической ячейки в различные моменты времени для короткого звукового цуга sinc-образной формы.

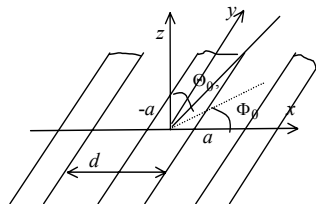


ДИФРАКЦИЯ ЭЛЕКТРОМАГНИТНЫХ ВОЛН НА ИМПЕДАНСНЫХ СТРУКТУРАХ

В.А.Емельянов

Чувашский госуниверситет

В работах [1,2] рассмотрена задача дифракции электромагнитных волн на бесконечно протяженной ленте в свободном пространстве. При решении задачи дифракции на ленте обычно полагают, что она идеально проводящая. Мы рассматриваем случай наклонного падения электромагнитной волны на систему из N импедансных бесконечно протяженных лент, стоящих друг от друга на расстоянии d . Ленты шириной $2a$ ориентированы вдоль оси y и находятся в плоскости $z=0$ (рис.). Полагаем, что окружающее пространство однородно, а лента имеет поверхностный импеданс ZZ_0 (Z_0 – импеданс свободного пространства).



Первичное падающее поле запишем в виде

$$\mathbf{H}^{nad} = \mathbf{H}_0 \exp(-ik_0 \mathbf{n} \mathbf{r}), \quad \mathbf{E}^{nad} = -Z_0 [\mathbf{n} \mathbf{H}_0] \exp(-ik_0 \mathbf{n} \mathbf{r}), \quad (1)$$

где k_0 – волновое число в свободном пространстве, $H_0 = \{-\sin\Phi_0, \cos\Phi_0, 0\}$, $n = \{\sin\Theta_0 \cos\Phi_0, \sin\Theta_0 \sin\Phi_0 \cos\Theta_0\}$, $r = \{x, y, z\}$, Θ_0, Φ_0 – углы, отсчитываемые от оси z и от оси x в плоскости xy , соответственно.

Полное поле есть сумма падающего и рассеянного лентами полей

$$\mathbf{H} = \mathbf{H}^{nad} + \sum_{p=1}^N \mathbf{H}_p^{pac}, \quad \mathbf{E} = \mathbf{E}^{nad} + \sum_{p=1}^N \mathbf{E}_p^{pac}, \quad (2)$$

где p – номер ленты.

На поверхности лент сверху и снизу задаются условия импедансного типа для касательных составляющих полей $E_{p\tau}$ и $H_{p\tau}$:

$$\left. \begin{aligned} \mathbf{E}_{p\tau}(x, y, +0) - ZZ_0 [\mathbf{v}_0 \mathbf{H}_{p\tau}(x, y, +0)] &= 0 \\ \mathbf{E}_{p\tau}(x, y, -0) + ZZ_0 [\mathbf{v}_0 \mathbf{H}_{p\tau}(x, y, -0)] &= 0 \end{aligned} \right\}, \quad |x| < a, \quad (3)$$

где \mathbf{v}_0 – единичный вектор вдоль вертикальной оси z .

Выражения для касательных составляющих полей, рассеянных лентами, с учетом связи между векторным потенциалом и векторами напряженности, имеют вид

$$\begin{aligned} \mathbf{E}_{p\tau}^{pac}(u, v) &= \mp \frac{1}{2\pi} \int_{-\infty}^{\infty} iw [\mathbf{v}_0 \mathbf{a}_{p\pm}(\xi)] \exp(i\xi u \pm iwv) d\xi, \\ \mathbf{H}_{p\tau}^{pac}(u, v) &= \mp \frac{1}{2\pi Z_0} \int_{-\infty}^{\infty} iw \mathbf{M} \mathbf{a}_{p\pm}(\xi) \exp(i\xi u \pm iwv) d\xi, \end{aligned} \quad (4)$$

где $\mathbf{M} = \frac{1}{wk} \begin{pmatrix} k^2 - \xi^2 & \xi p_0 \\ \xi p_0 & k_{\perp}^2 \end{pmatrix}$, $k_{\perp} = \sqrt{k^2 - p_0^2}$,

Нормальные составляющие рассеянного поля:

$$\begin{aligned} E_{pz}^{pac}(u, v) &= -\frac{1}{2\pi} \int_{-\infty}^{\infty} (i\xi a_{p\pm y}(\xi) + ip_0 a_{\pm x}(\xi)) \exp(i\xi u \pm iwv) d\xi, \\ H_{pz}^{pac}(u, v) &= \mp \frac{1}{2\pi Z_0} \int_{-\infty}^{\infty} \frac{w}{k} (i\xi a_{p\pm x}(\xi) - ip_0 a_{\pm y}(\xi)) \exp(i\xi u \pm iwv) d\xi, \end{aligned} \quad (5)$$

где $\mathbf{a}_{p\pm}(\xi), a_{p\pm}(\xi)$ – спектральные плотности векторного потенциала в верхнем и нижнем полупространствах.

После подстановки выражения для компонент поля в (3) получается система из двух векторных интегральных уравнений относительно спектральных функций плотностей поверхностей токов

$$\left. \begin{aligned} \frac{1}{2\pi} \int_{-\infty}^{\infty} (Z\mathbf{I} + \mathbf{M}) \mathbf{J}_p^{\circ}(\xi) e^{i\xi u} d\xi &= -2[\mathbf{n}\mathbf{H}_{p\tau}^{nad}] \\ \frac{1}{2\pi} \int_{-\infty}^{\infty} (Z\mathbf{M} + \mathbf{I}) \mathbf{J}_p^{\circ}(\xi) e^{i\xi u} d\xi &= -2Z\mathbf{H}_{p\tau}^{nad} \end{aligned} \right\} \begin{aligned} \frac{1}{2\pi} \int_{-\infty}^{\infty} \mathbf{J}_p^{\circ}(\xi) e^{i\xi u} d\xi &= 0 \\ \frac{1}{2\pi} \int_{-\infty}^{\infty} \mathbf{J}_p^{\circ}(\xi) e^{i\xi u} d\xi &= 0 \end{aligned} \quad \left. \begin{aligned} |u| < 1, \\ |u| > 1, \end{aligned} \right\} (6)$$

где \mathbf{I} – единичная матрица. Система уравнений (6) решается методом моментов.

Известно, что в случае идеально проводящих лент при $d/\lambda < 0,5$ рассеивает только нулевая гармоника, остальные создают поверхностную волну; при $d/\lambda > 0,5$ появляются дифракционные лучи, соответствующие более высоким гармоникам. В случае импедансных лент появляется рассеянное поле от высших гармоник и при $d/\lambda < 0,5$.

- [1] Зацепин П.М., Комаров С.А. //Радиотехника и электроника. 1996. Т.41, № 6. С.906.
 [2] Баранчугов Е.А., Зацепин П.М., Комаров С.А. //Радиотехника и электроника. 1998. Т.43, № 11. С.1291-1295.

ЭКВИВАЛЕНТНАЯ ПРОВОДИМОСТЬ РЕЗОНАТОРНО-ЩЕЛЕВЫХ АНТЕННЫХ СИСТЕМ

В.А.Емельянов, В.Н.Пичугин

Чувашский госуниверситет

Рассмотрена резонаторно-щелевая антенна. Картина электрического поля показана на рисунке. Магнитное поле, возникающее при возбуждении щели на её поверхности со стороны волновода, обозначим \vec{H}_1 , с внешней стороны – \vec{H}_- . Условие непрерывности магнитного поля на щели:

$$C_- H_- + H_1 = H_-^{\otimes} \quad (1)$$

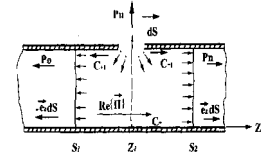
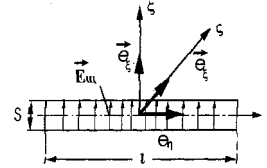
позволяет записать поток мощности через щель:

$$\int_S [\vec{E}_k (\vec{C} \vec{H} + \vec{H}_k)^*] d\vec{S} = \int_S [\vec{E}_k, \vec{H}^{\otimes}] d\vec{S} \quad (2)$$

После осуществления несложных преобразований получим уравнение

$$C d_{\pm} N = YU = (G_{\text{вол}} + G + jB)U, \quad (3)$$

в котором амплитуда падающей волны в волноводе C_- связана с напряжением в центре щели U . В уравнении (3)



$$d_{\pm} = \frac{1}{NU^2} \int_S [\vec{E}_k^* \vec{H}_{\pm}] d\vec{S} = \frac{1}{N} \int_{-l/2}^{l/2} \cos\left(\frac{\pi}{l}\eta\right) \left\{ \frac{2}{\pi S} \int_{-S/2}^{S/2} \frac{H_{\pm\eta}}{\sqrt{1 - \left(\frac{2\xi}{S}\right)^2}} d\xi \right\} d\eta, \quad (4)$$

N – норма, d_{\pm} – коэффициент связи щели с волноводом (или коэффициент влияния щели на волновод).

Уравнение (3) позволяет составить эквивалентную схему щели, в которой величина $C_- d_{\pm} N$ – ток генератора с бесконечным внутренним сопротивлением, а проводимость Y – нагрузка. Основной тип поля, возбуждаемый щелью, даёт проводимость, величина которой определяется выражением

$$Y_{\text{вол}} = - \int_{-\frac{l}{2}}^{\frac{l}{2}} \cos\left(\frac{\pi}{l}\eta\right) \int_{-\frac{S}{2}}^{\frac{S}{2}} \frac{2\alpha_+(z)H_-\eta + \alpha_-(z)H_+\eta}{s\sqrt{1 - \left(\frac{2\xi}{S}\right)^2}} d\xi d\eta, \quad (5)$$

где $C_{\pm}(z)$ и $\alpha_{\pm}(z)$ – коэффициенты, определяемые непосредственно под щелью.

Подставляя формулу (4) в (5), найдём $Y_{вол}$

$$Y_{вол} = G_{вол} - jG_{вол} \left\{ \operatorname{tg} \frac{\pi l}{\lambda_{\partial}} - \frac{1}{2} \frac{\frac{\pi l}{\lambda_{\partial}} \left(1 - 4 \left(\frac{l}{\lambda_{\partial}} \right)^2 \right)}{\cos^2 \frac{\pi l}{\lambda_{\partial}}} \right\}, \quad (6)$$

где $G_{вол}$ определяется следующим образом:

$$G_{вол} = \frac{\lambda_{\partial}}{ab} \sqrt{\frac{\varepsilon_a}{\mu_a} \left(\frac{l}{\pi a} \right)^2} \left(\frac{\cos \frac{\pi l}{\lambda_{\partial}}}{1 - \left(\frac{2l}{\lambda_{\partial}} \right)^2} \right)^2 \cos^2 \left(\frac{\pi}{a} y_1 \right) \left(\frac{\sin \frac{\pi S}{2a}}{\frac{\pi S}{2a}} \right)^2. \quad (7)$$

Полученные выражения исследовались численно с помощью программы Mathcad. С помощью них получены выражения для ДН, КНД и КУ [4].

Изложенный метод расчета проводимости резонаторно-щелевой антенны со щелями, эквивалентными параллельным проводимостям, включённым в линию, остается справедливыми и для щелей, эквивалентных сопротивлениям, которые включены в линию последовательно. Поэтому расчёт антенны производится аналогично при условии замены в соответствующих выражениях нормированных проводимостей нормированными сопротивлениями [1,3].

- [1] Антенны и устройства СВЧ. Проектирование фазированных антенных решеток. /Под ред. Д. И. Воскресенского. 2-е издание. – М.: Радио и связь, 1994, 592с.
- [2] Ершов Л. И., Кременецкий С. Д., Лось В. Ф. //Радиотехника. 1984. № 2. С. 364.
- [3] Кременецкий С. Д. //Радиотехника. 1993. № 8-9. С. 253.
- [4] Емельянов В.А., Пичугин В.Н. // В кн.: Тр. 6-й науч. конф. по радиофизике. 7 мая 2002 г. /Ред. А.В.Якимов. –Н.Новгород: ТАЛАН, 2002, с. 98.

СВОЙСТВА ВОЛНОВОДНО-ЩЕЛЕВЫХ И РЕЗОНАТОРНО-ЩЕЛЕВЫХ АНТЕННЫХ РЕШЕТОК НА ЧАСТОТАХ, ПРЕВЫШАЮЩИХ РАБОЧИЙ ДИАПАЗОН

В.А.Емельянов, В.Н.Пичугин

Чувашский госуниверситет

В антенных решетках, использующих волновод со щелями, резонаторно-щелевой излучатель является многомодовым. В этих условиях необходимо знание интегральных характеристик излучающих систем (ДН и КУ) не только в рабочем диапазоне, но и на частотах, превышающих рабочий диапазон. В [1-4] при расчетах ДН и КУ используется синусоидальное распределение поля в щели, являющееся лишь первым приближением. Для вычисления более точного распределения поля используется численный метод решения системы интегральных уравнений. Предположим, что на волноводно-щелевую решетку (ВЩР) с продольными щелями на широкой стенке падает из свободного пространства электромагнитная волна (рисунок); поверхность резонатора и волновода имеет бесконечную проводимость $\sigma = \infty$; щели бесконечно узкие $ks \ll \lambda$, где s – ширина щели; стенки бесконечно тонкие. На основании теоремы эквивалентности [3] щель представлена в виде суммы элементарных магнитных диполей, объемная плотность тока которых $j_z^M = I^M \ell \delta(x - x') \delta(y - b) \delta(z - z')$. Волновое уравнение для потенциала магнитного диполя V_δ имеет вид

$$\frac{\partial^2 V_\delta}{\partial x^2} + \frac{\partial^2 V_\delta}{\partial y^2} + \frac{\partial^2 V_\delta}{\partial z^2} + k^2 V_\delta = -\frac{1}{i\omega\mu_0} j_z^M, \quad (1)$$

где $V_\delta = \sum_{m=0}^{\infty} \sum_n A_{mn}(z) \cos \frac{m\pi x}{a} \cos \frac{n\pi y}{b}$, l – длина диполя.

Решая уравнение (1) относительно коэффициентов $A_{mn}(z)$, получим потенциал, создаваемый щелью в волноводе

$$V_{щ} = \int_{x_0}^{x_0+sL} \int_0^L V_\delta(x, z) dx dz, \quad (2)$$

где V_δ – потенциал магнитного диполя щели в волноводе,

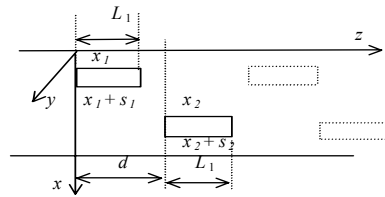
С учетом того, что падающее поле из внешнего пространства возбуждает только H_{mn} – типы волн в волноводе (для продольной щели), рассматриваем лишь магнитную составляющую H_z этих волн. Выражая H_z через $V_{щ}$ и учитывая условия непрерывности тангенциальных составляющих вектора магнитного поля, для одиночной щели получим интегральное уравнение Фредгольма. Используя метод Га-

леркина, решение относительно функции распределения тока ищем в виде $I^M(x', z') = \sum_{\ell=1}^N A_{\ell} \sin \frac{t\pi z'}{\ell} g(x')$. В итоге приходим к СЛАУ:

$$\int_{x_0}^{x_0+s} \int_{x_0}^{x_0+s} \int_{x_0}^{x_0+s} \int_0^L \left(\frac{\partial^2}{\partial z^2} + k^2 \right) * \left(\frac{1}{2\omega a b \mu_0} \sum_{m=0}^{\infty} \sum_{n=0}^{\infty} \frac{\epsilon_m \epsilon_n}{\gamma_{mn}} \cos \frac{m\pi x}{a} \cos \frac{m\pi x'}{a} e^{-\gamma_{mn}|z-z'|} - \frac{e^{-ikr}}{2\pi i \omega \mu_0 r} \right) A_{\ell} \sin \frac{t\pi z'}{\ell} \sin \frac{t\pi z}{\ell} g(x) g(x') dx dz dx' dz' = 2 \int_{x_0}^{x_0+s} \int_0^{\ell} \hat{H}^{nad}(x, y, z) g(x) \sin \frac{t\pi z}{\ell} dx dz \quad (3)$$

где $t = 1, 2, \dots, N$; a, \cdot, b - размеры волновода; положено $g(x) = g(x') = 1$ - распределение тока поперек щели; ϵ_m, ϵ_n - числа Неймана, $\epsilon_m, \epsilon_n = 1$, при $m, n = 0$ и $\epsilon_m, \epsilon_n = 2$, при $m, n \neq 0$, L, s - длина и ширина щели; x_0 - координата начала щели вдоль оси x ; \hat{H}^{nad} - падающее поле, которое зависит от источника и ориентации щели в пространстве относительно этого источника.

При анализе распределения тока на щелях ВЩР, необходимо учесть вклад, вносимый взаимным влиянием щелей как в волноводе, так и по внешнему пространству.



После того как найдено распределение тока, может быть определена комплексная ДН всей антенной решетки по общей формуле

$$f(\theta, \varphi) = \sum_{p=1}^N I_p |f_p(\theta, \varphi)| \exp(i \psi_p(\theta, \varphi) + ikd_p \sin(\theta)) \quad (4)$$

Ввиду сложности численной реализации модели были использованы преобразования систем (3), которые позволяют перейти от четырехкратных интегралов к однократным. Для различных видов антенн по методике, изложенной в [2,4,5], рассчитаны их характеристики.

[1] Кременецкий С.Д. //Радиотехника. 1993. № 11. С.75-82.
 [2] Васильев Е.Н. Возбуждение тел вращения. – М.: Радио и связь, 1987, 271с.
 [3] Яцук Л.П., Блинова Н.К. //Радиотехника. 2001. № 6. С.24-28.
 [4] Емельянов В.А., Пичугин В.Н. //В кн.: Математические модели и их приложения. Сб. науч. тр. Вып.3. – Чебоксары: Изд-во Чуваш. Ун-та, 2001, с.143.
 [5] Емельянов В.А., Пичугин В.Н. //В кн.: Математические модели и их приложения. Сб. науч. тр. Вып.3. – Чебоксары: Изд-во Чуваш. Ун-та, 2002, с.165.

ИЗЛУЧЕНИЕ ИМПУЛЬСНОГО ДИПОЛЬНОГО ИСТОЧНИКА В СТОЛКНОВИТЕЛЬНОЙ ЗАМАГНИЧЕННОЙ ПЛАЗМЕ В АЛЬВЕНОВСКОМ ДИАПАЗОНЕ

В.Г.Гавриленко, Е.Ю.Петров, Д.А.Сутягина

Нижегородский госуниверситет

Исследованию вопросов излучения и распространения низкочастотных электромагнитных волн в магнитоактивной плазме посвящено большое число работ. Интерес к подобным задачам обусловлен разработкой новых каналов радиосвязи и методов волновой диагностики околоземной плазмы.

В большинстве опубликованных к данному времени работ по указанной тематике рассматривались монохроматические излучатели дипольного типа с простейшими заданными распределениями тока. Между тем, вполне понятно, что в реальной ситуации излучающий элемент имеет негармоническую временную зависимость.

В данной работе рассматривается задача об излучении низкочастотных электромагнитных волн импульсным дипольным источником в столкновительной магнитоактивной плазме. Сторонний электрический ток источника задается в виде

$$\vec{j}(\vec{r}, t) = \vec{z}_0 \frac{P}{\tau^2} \delta(\vec{r}) \cdot t \cdot \exp\left(-\frac{t}{\tau}\right) H(t),$$

где P – дипольный момент, τ – характерная длительность импульса, $\delta(\vec{r})$ – дельта-функция Дирака, $H(t)$ – единичная функция Хевисайда.

Источник находится в однородной магнитоактивной плазме; направление оси z выбрано вдоль внешнего магнитного поля. Будем полагать, что длительность импульса $\tau \gg 1/\Omega_H$ (Ω_H – гирочастота ионов). В области частот $0 < \omega < \Omega_H$, где сосредоточен спектр источника, может быть использовано “приближение одноосного кристалла” для тензора диэлектрической проницаемости замагниченной плазмы ($\varepsilon_{xx} = \varepsilon_{yy} = \varepsilon$, $\varepsilon_{zz} = \eta$, $\varepsilon_{ij} = 0$ при $i \neq j$). Диагональные элементы тензора выражаются следующим образом:

$$\varepsilon = \frac{c^2}{v_a^2} \left(1 + i \frac{v_{in}}{\omega} \right), \quad \eta = -\frac{\omega_p^2}{\omega(\omega + i v_{en})},$$

где $v_a = c \cdot \Omega_p / \Omega_H$ – альвеновская скорость, ω_p и Ω_p – плазменные частоты электронов и ионов, v_{en} и v_{in} – частоты столкновений электронов и ионов с нейтральными частицами.

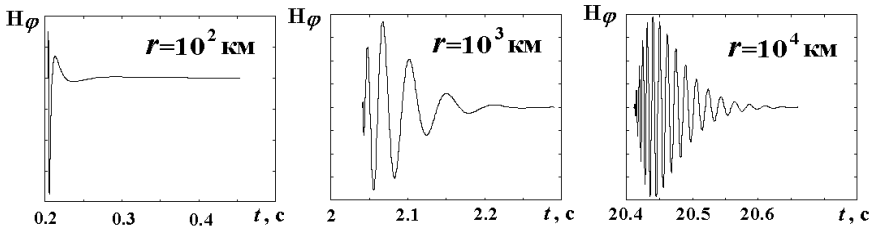
В работе [1] было показано, что электрический диполь, ориентированный вдоль внешнего магнитного поля в плазме, описываемой диагональным тензором диэлектрической проницаемости, возбуждает лишь одну из нормальных волн (альвенов-

скую). Продольная компонента векторного потенциала в данной волне может быть представлена в виде

$$A_z(\vec{r}, t) = \frac{1}{2\pi} \int_{-\infty}^{+\infty} \frac{\sqrt{\varepsilon}}{c} \cdot \frac{P}{(1 - i\omega\tau)^2} \cdot \frac{\exp(i\omega c^{-1} \sqrt{\eta\rho^2 + \varepsilon^2} - i\omega t)}{\sqrt{\eta\rho^2 + \varepsilon^2}} d\omega,$$

где $\rho^2 = x^2 + y^2$, а ветвь функции $\sqrt{\eta\rho^2 + \varepsilon^2}$ выбирается исходя из условия излучения ($\text{Im} \sqrt{\eta\rho^2 + \varepsilon^2} > 0$).

На основе приведенного выше интегрального представления с помощью метода наискорейшего спуска было изучено поведение компонент электромагнитного поля в зависимости от времени на различных расстояниях от источника. Показано, что импульсный сигнал распространяется в узком конусе с углом раствора, отсчитываемым от оси z , равным $\theta \approx \arctg(c v_{en} / (v_a \omega_p))$. Вне данного конуса поле импульсного источника экспоненциально спадает на расстояниях $r \approx c / (\omega_p \sin \theta)$. Характерные зависимости азимутальной компоненты магнитного поля H_φ от времени в случае, когда точка наблюдения (со сферическими координатами r и θ) находится внутри конуса, приведены на рис. Параметры окружающей плазмы выбирались типичными для условий земной ионосферы.



Азимутальная компонента магнитного поля (в усл. ед.) в зависимости от времени (угол $\theta = 0,001^\circ$).

- [1] Денисов Н.Г., Докучаев В.П., Тамойкин В.В. //Изв. вузов. Радиофизика. 1973. Т.16, №3. С.351.

ЭКСПЕРИМЕНТАЛЬНЫЕ ИССЛЕДОВАНИЯ УСЛОВИЙ ВОЗБУЖДЕНИЯ СТРИКЦИОННОЙ ПАРАМЕТРИЧЕСКОЙ НЕУСТОЙЧИВОСТИ В ИОНОСФЕРНОЙ ПЛАЗМЕ

С.М.Грач, П.В.Котов, Е.Н.Сергеев

Нижегородский госуниверситет

25 мая 2001 г. на нагревном стенде НИРФИ “Сура” проведена серия исследований характеристик эффекта стрикционного самовоздействия (ССВ) мощной радиоволны (волны накачки, ВН) в зависимости частоты ВН в диапазоне $f_0 = 4,5\text{-}9$ МГц в дневное (14:00-17:30) и вечернее время суток (19:00-21:10). ССВ, напомним, проявляется как быстрое (за несколько миллисекунд) уменьшение амплитуды отраженного от ионосферы сигнала ВН. ССВ связано с развитием стрикционной параметрической неустойчивости вблизи точки отражения ВН обыкновенной поляризации [1]. Величина порогового поля возбуждения E_n и инкремент γ развития неустойчивости определяются выражениями [2]:

$$E_n^2 = \frac{4N_e T_e}{F_m} \frac{\nu}{f_0}, \quad \gamma = \nu \left(\frac{E_0^2}{E_n^2} - 1 \right), \quad \nu = \nu_e + \gamma_{fe}, \quad (1)$$

где N_e и T_e – концентрация и температура электронов, $F_m \approx 0,3$, ν – декремент затухания плазменных волн, складывающийся из столкновительного (ν_e) и бесстолкновительного (γ_{fe}) затухания, E_0 – амплитуда ВН.

В процессе эксперимента мощность излучения ВН ступенчато уменьшалась с шагом 3 дБ от максимальной вплоть до порогов возбуждения эффекта ССВ. При каждом уровне мощности излучалось от 60 до 200 импульсов длительностью 20, 50 или 100 мс. Отраженный от ионосферы сигнал ВН и сигнал искусственного радиоизлучения ионосферы (ИРИ) [3] на фиксированных частотах регистрировались с помощью радиоприемников “Катран” и, далее, АЦП. Для каждой серии измерений при фиксированной мощности, частоте и длительности импульса ВН проводилось усреднение последовательных реализаций сигналов. Кроме этого, для определения регулярного (линейного) поглощения ВН в нижних слоях ионосферы по соотношению амплитуд первого и второго отражений от ионосферы перед каждым импульсом излучались более короткие импульсы длительностью 300 мкс. Высотные профили электронной концентрации ионосферной плазмы определялись с помощью ионограмм, которые снимались в автоматическом 15-минутном режиме с помощью импульсной ионосферной станции “Базис”. При обработке экспериментальных данных определялись, в частности, значения порогового поля E_n . Для вычисления E_n использовались формулы амплитуды поля в первом максимуме функции Эйри в области отражения ВН, измеренные значения пороговой мощности ВН и линейного поглощения, а также определенный по ионограммам масштаб слоя ионосферной плазмы. Декремент затухания плазменных волн ν предполагался равным времени релаксации сигнала ИРИ (уменьшения его интенсивности в e раз) после выключе-

ИССЛЕДОВАНИЕ ДИАПАЗОННЫХ СВОЙСТВ НЕЛИНЕЙНЫХ РАССЕИВАТЕЛЕЙ

Ю.М.Куликов, И.Ю.Треумов, А.Л.Умнов, В.А.Яшнов

Нижегородский госуниверситет

Предложенный в работе [1] нелинейный рассеиватель с оптическим управлением (НРОУ) может быть использован в качестве бесфидерного датчика электромагнитного поля, элемента антенной решетки нелинейного интерференционного радиолокатора, а также в качестве пассивного транслятора данных в беспроводных компьютерных сетях [2]. В последнем случае НРОУ должен обеспечивать необходимый уровень переизлученного сигнала в достаточно широкой полосе частот. Исследованные в работах [1-2] НРОУ представляли собой вибраторные антенны с включенными в качестве нагрузок фоточувствительными нелинейными элементами и обладали ярко выраженными резонансными свойствами.

В данной работе представлены некоторые результаты экспериментальных исследований фрактальных нелинейных рассеивателей, проведенных с целью изучения их диапазонных свойств. Фрактальная геометрия зародилась сравнительно недавно. Термин “фрактал” был введен Б. Мандельбротом в 1975 г. Фракталы успешно используются для описания таких сложных структур как береговые линии, границы облаков, снежинки, молниевые разряды, деревья и др. В последние годы идеи фрактальной геометрии нашли применение в задачах рассеяния волн статистически неровной или неоднородной поверхностью, обработки изображений и обнаружения малоконтрастных объектов [3]. Быстро развивается теория и практика фрактальных антенн и фрактальных антенных решеток [4]. Одним из преимуществ

антенн с фрактальной геометрией является их широкая полоса рабочих частот в сочетании с небольшими размерами.

Для исследований был сконструирован несимметричный вибратор, плечо которого представляет собой третью ($n=3$) итерацию кривой Кох (рис.1). Длина плеча вибратора $h = 60$ см, общая длина проводника $l=(4/3)^n h \approx 142$ см. Вибратор закреплен над металлической пластиной размером 60×60 см. Между проводником и пластиной включен нелинейный элемент. В качестве нелинейного элемента была использована сборка, состоявшая из фототранзистора и диода с накоплением заряда КД524. В такой конструкции фототранзистор используется в качестве

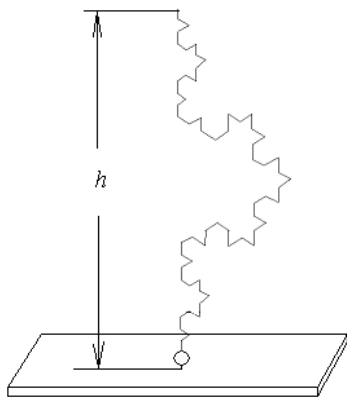


Рис. 1

источника напряжения смещения для диода. По высокой частоте фототранзистор отделен от остальной цепи катушкой индуктивности.

Измерения проводились в помещении размером $8 \times 10 \times 3$ м. Электромагнитное поле создавалось двумя СВЧ-генераторами, нагруженными на несимметричные вибраторные антенны и работающими на разных частотах. Прием рассеянного сигнала на комбинационной частоте осуществлялся с помощью радиоприемника AR-5000 с чувствительностью не хуже $0,2$ мкВ/м в диапазоне 100 - 2000 МГц. В качестве примера на рис.2 приведены зависимости амплитуды сигнала на комбинационной частоте, рассеянного фрактальным НРОУ (сплошная линия) и НРОУ в виде обычной вибраторной антенны (пунктирная линия). Предварительные результаты измерений показали, что фрактальный рассеиватель имеет широкую полосу рабочих частот и более эффективен по сравнению с рассеивателем, имеющим линейную форму.

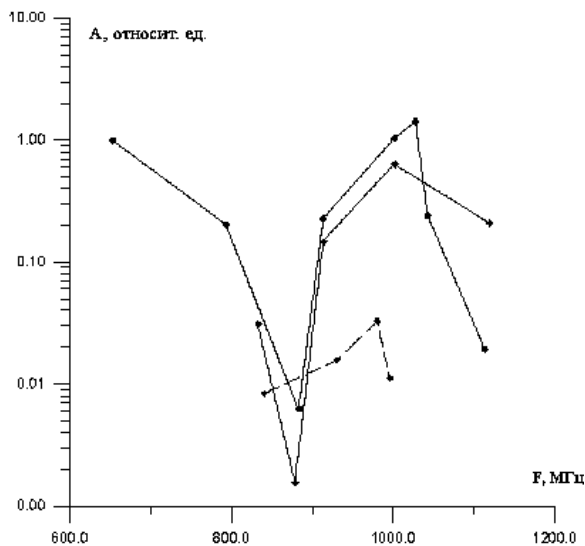


Рис. 2

- [1] Кашин А.В., Умнов А.Л., Яшнов В.А. //Письма в ЖТФ. 2001. Т.27. Вып. 7. С. 26.
- [2] Кудрин А.В., Марков Г.А., Умнов А.Л., Яшнов В.А., Васенков А.А., Горбачев А.А., Колданов А.П., Тараканков С.П. //В кн.:Тр. (Шестой) научн. конф. по радиофизике. 7 мая 2002 г. /Ред. А.В.Якимов. –Н.Новгород: ТАЛАН, 2002, с.29.
- [3] Потапов А.А. Фракталы в радиофизике и радиолокации. –М.: Логос, 2002, 664 с.
- [4] Werner D.H., Ganguly S. //IEEE Antennas&Propagation Magazine. 2003. V.45. №1. P.38.

АНАЛИЗ НЕЛИНЕЙНЫХ РАССЕИВАТЕЛЕЙ НА ОСНОВЕ РЯДОВ ВОЛЬТЕРРА

Ю.М.Куликов, В.А.Яшнов

Нижегородский госуниверситет

Эффекты нелинейного рассеяния электромагнитных волн в последние годы привлекают внимание большого числа исследователей [1]. Актуальность проблемы связана с развитием нелинейной радиолокации, а также с возможностью использования нелинейных рассеивателей в качестве бесфидерных датчиков электромагнитного поля, пассивных ретрансляторов в беспроводных сетях передачи данных и т.п. Нелинейный рассеиватель представляет собой антенну с нелинейной нагрузкой. Теоретический анализ работы таких антенн проводится различными методами [1-3], среди которых можно отметить метод рядов Вольтерра [4], реализованный, в частности, в пакете Microwave Office, предназначенном для анализа СВЧ-устройств. В данной работе проведен теоретический анализ работы нелинейного рассеивателя в виде короткого электрического диполя с нелинейной нагрузкой.

Предположим, что сигнал $y(t)$ на выходе нелинейной системы может быть представлен в следующем виде [4,5]:

$$y(t) = \sum_{p=1}^N w_p(t) = \sum_{p=1}^N \int h_p(\tau_1, \dots, \tau_p) \prod_{m=1}^p x(t - \tau_m) d\tau_m, \quad (1)$$

где $x(t)$ – внешнее воздействие, $h_p(\tau_1, \dots, \tau_p)$ – ядро Вольтерра p -го порядка. Эти ядра не зависят от внешнего воздействия и полностью определяются свойствами цепи. Величину $h_p(\tau_1, \dots, \tau_p)$ можно рассматривать как импульсную характеристику p -го порядка, соответствующую нелинейности того же порядка. Нелинейная функция передачи $H_p(\omega_1, \dots, \omega_p)$ определяется p -мерным преобразованием Фурье

$$H_p(\omega_1, \dots, \omega_p) = \int h_p(\tau_1, \dots, \tau_p) \prod_{m=1}^p e^{-i\omega_m \tau_m} d\tau_m. \quad (2)$$

Подстановка (2) в (1) приводит к соотношению

$$y(t) = \sum_{p=1}^N \int H_p(\omega_1, \dots, \omega_p) \prod_{m=1}^p X(\omega_m) e^{i\omega_m t} d\omega_m, \quad (3)$$

где выходной сигнал выражен через спектр внешнего воздействия.

Особенно удобно использовать выражение (3), если входной сигнал представляет собой сумму гармонических составляющих

$$x(t) = \frac{1}{2} \sum_{m=-k}^k X_m e^{i\omega_m t}. \quad (4)$$

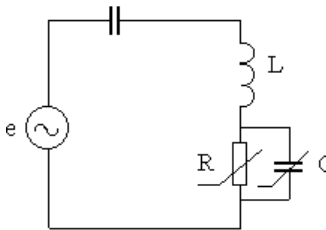
В этом случае выходной сигнал будет иметь вид

$$y(t) = \frac{1}{2} \sum_{m=-k}^k X_m H_1(\omega_m) e^{i\omega_m t} + \frac{1}{2^2} \sum_{m_1=-k}^k \sum_{m_2=-k}^k X_{m_1} X_{m_2} H_2(\omega_{m_1}, \omega_{m_2}) e^{i(\omega_{m_1} + \omega_{m_2}) t} + \dots, \quad (5)$$

где присутствуют нелинейные продукты на частотах $\omega_{m_1} + \omega_{m_2}$, амплитуды которых определяются нелинейными функциями передачи $H_2(\omega_{m_1}, \omega_{m_2})$, и т.д. Таким образом, исходная задача сводится к вычислению нелинейных функций передачи.

Рассмотрим короткий электрический диполь с нелинейной нагрузкой. Эквивалентная схема такого нелинейного рассеивателя показана на рисунке. Здесь C_A – эквивалентная емкость короткого диполя, определяемая выражением

$$C_A = 4\pi\epsilon_0 h / (\Omega - 2 - \ln 4), \quad (6)$$



где $2h$ – размеры диполя, Ω – большой параметр в теории антенн

$$\Omega = 2 \ln(2h/a), \quad (7)$$

a – радиус проводников антенны, ϵ_0 – электрическая постоянная в СИ. ЭДС эквивалентного источника e связана с напряженностью электрического поля падающей волны E_{inc} соотношением:

$$e = E_{inc} \cdot h_e, \quad \text{где } h_e = \frac{\Omega - 1}{2(\Omega - 2 + \ln 4)} h. \quad (8)$$

На рисунке L – индуктивность, вводимая для “удлинения” антенны, R и C – нелинейные характеристики нагрузки.

Применение рядов Вольтерра позволило получить достаточно простые выражения для токов в нагрузке на основной частоте и на гармониках основной частоты при воздействии на антенну монохроматическим излучением, а также на комбинационных частотах в том случае, когда антенна находится в поле двух волн с различающимися частотами. Исследована зависимость амплитуд нелинейных продуктов от частоты электромагнитного поля, а также от параметров нелинейного элемента. Метод рядов Вольтерра применим, если нелинейность нагрузки антенны невелика.

- [1] Кузнецов А.С., Кутин Г.И. //Зарубежная радиоэлектроника. 1985. №4. С.41.
- [2] Васенков А.А., Горбачев А.А., Заборонкова Т.М. //Радиотехника. 1998. № 10. С. 89.
- [3] Liu T.K., Tesche F.M. //IEEE Trans. Antennas and Propag. 1976. V.24, №2. P.131.
- [4] Sarkar T.K., Weiner D.D. // IEEE Trans. Antennas and Propag. 1976. V.24, № 2. P.125.
- [5] Данилов Л.В., Матханов П.Н., Филиппов Е.С. Теория нелинейных электрических цепей. –Л.: Энергоатомиздат, 1990, 256 с.

ОБ ЭФФЕКТИВНОСТИ ПРОГНОЗИРОВАНИЯ ИОНОСФЕРНОГО КВ КАНАЛА ПО ДАННЫМ ВЕРТИКАЛЬНОГО И НАКЛОННОГО ЗОНДИРОВАНИЯ

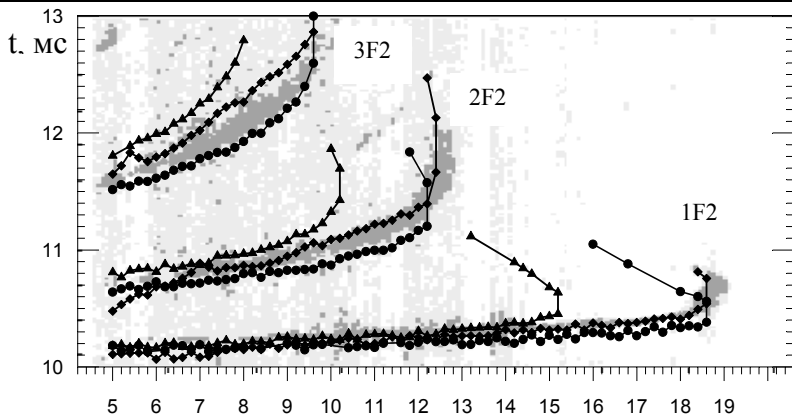
В.П.Урядов, А.А.Понятов

Научно-исследовательский радиофизический институт

Эксперименты показывают [1], что для организации испытаний и обеспечения эффективной работы систем КВ радиосвязи в изменяющихся ионосферных условиях важное значение имеет заблаговременность и точность прогноза основных параметров ионосферного КВ канала, в первую очередь, максимальной применимой частоты (МПЧ) и диапазона оптимальных рабочих частот (ОРЧ) связи. Наиболее эффективным методом является оперативное прогнозирование ионосферного канала в реальном времени с помощью технических средств наклонного зондирования (НЗ), когда системы связи и зондирования совмещены в одном пункте. Однако низкая обеспеченность связных радиолиний средствами НЗ инициирует разработку новых методов прогнозирования. В последнее время интенсивно разрабатывается метод прогнозирования с использованием искусственных нейронных сетей (ИНС) [2]. Его преимущество заключается в установлении связи параметров радиоканала с гелиогеофизической обстановкой, обусловленной эффектами космической погоды. Этот метод представляется эффективным, но требует сбора и текущего обновления большого объема информации о параметрах солнечного ветра, межпланетного магнитного поля и ряда других параметров, что не всегда доступно. В то же время, на наш взгляд, не исчерпаны возможности прогнозирования, основанного на коррекции глобальной модели ионосферы с использованием данных вертикального (ВЗ) и наклонного (НЗ) зондирования, получаемых в режиме “on-line”.

Представлены результаты сравнения эффективности прогнозирования ионосферного КВ канала на радиолинии Inskip (Англия) – Н.Новгород по долгосрочному прогнозу, а также на основе коррекции ионосферной модели по реальным данным ВЗ и НЗ.

Реальные значения критической частоты слоя F2 ионосферы для станции ВЗ Chilton (Англия), доступные в режиме “on-line” (<http://www.wdc.rl.ac.uk>), были использованы для коррекции модели ионосферы, расчета ионограмм на трассе Inskip (Англия) – Нижний Новгород и сопоставления результатов моделирования с реальными ионограммами, полученными на этой трассе. В качестве примера на рисунке показана экспериментальная ионограмма НЗ на трассе Inskip (Англия, 54°N, 3°W) – Н. Новгород. Здесь же приведены ионограммы, рассчитанные по долгосрочному прогнозу (треугольники), а также по глобальной модели ионосферы, скорректированной по реальным данным foF2 ст. Chilton (кружки). Сравнение расчетной и экспериментальной ионограмм показывает, что долгосрочный прогноз плохо описывает реальную ионосферу, отличие МПЧ 1F2 составляет ~ 4 МГц. Учет реальных данных ВЗ дает существенное улучшение качества прогноза (ошибка МПЧ порядка 0,4 МГц). На этом же рисунке показана ионограмма (ромбики), рас-



Трасса Inskip – Нижний Новгород, 26 марта 2002 г., 20:37 UT

считанная на основе восстановленного в средней точке трассы Inskip – Нижний Новгород профиля электронной концентрации по приведенной экспериментальной ионограмме наклонного зондирования по методу, изложенному в [3]. Из рисунка видно, что синтезированная ионограмма хорошо описывает экспериментальную ионограмму (для моды 1F2 отличие составляет не более 1%). Хорошее совпадение экспериментальных и расчетных данных дает основание полагать, что восстановленный высотный профиль концентрации в средней точке трассы может использоваться в качестве реперного профиля для оперативного прогнозирования условий распространения радиоволн.

Работа выполнена при поддержке РФФИ, грант № 02-05-64383.

- [1] Белоусов Е.Л., Брянцев В.Ф., Урядов В.П. и др. Трассовые испытания в ДКМВ диапазоне. Проблемы и перспективы развития // В кн.: Тр. VIII Международной научно-технической конференции “Радиолокация, навигация, связь”. 23-25 апреля 2002. – Воронеж, 2002, с.1417-1425.
- [2] Бархатов Н.А., Урядов В.П., Понятов А.А. и др. Метод искусственных нейронных сетей и его применение к прогнозированию ионосферного КВ радиоканала // В кн.: Тр. IX Международной научно-технической конференции “Радиолокация, навигация, связь”. 22-24 апреля 2003. – Воронеж, 2003, с.1853-1864.
- [3] Понятов А.А., Урядов В.П. Восстановление высотного профиля электронной концентрации по данным наклонного зондирования ионосферы. Препринт №474. НИРФИ. Н.Новгород, 2002г, 13с.

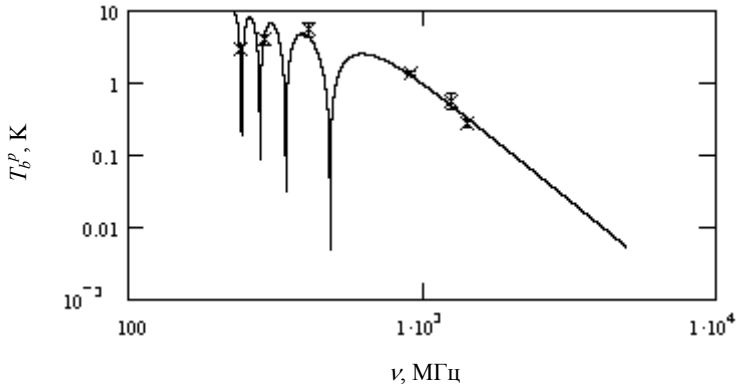
СПЕКТР ЛИНЕЙНО ПОЛЯРИЗОВАННОГО РАДИОИЗЛУЧЕНИЯ СЕВЕРНОГО ПОЛЯРНОГО ВЫСТУПА

Е.Н.Виняйкин, А.М.Пасека, Б.С.Формозов

Научно-исследовательский радиофизический институт

Данная работа продолжает серию работ по изучению спектров линейно поляризованной компоненты диффузного радиоизлучения в различных областях нашей Галактики [1] и посвящена Северному Полярному выступу (СПВ). Исследования линейной поляризации радиоизлучения Петли I, являющиеся источником информации о структуре и величине магнитного поля, ионизованном газе и релятивистских электронах, указывают на высокую степень упорядоченности магнитного поля в этом космическом объекте [3]. Целью данной работы является продолжение в сторону более низких частот спектра поляризационной яркостной температуры радиоизлучения в избранном направлении с координатами $\alpha_{1950}=14^{\text{h}}28^{\text{m}}$, $\delta_{1950}=14^{\circ}$ вблизи вершины СПВ. В 1998 г. и 2002 г. в радиоастрономической обсерватории “Старая Пустынь” нами были выполнены поляризационные измерения указанной области на частотах 408, 290 и 238 МГц. Методика измерений аналогична применявшейся ранее и рассмотрена в [1]. В таблице и на рисунке приведены результаты этих измерений вместе с опубликованными результатами измерений на частотах 910, 1250 и 1407 МГц [3]. Величины χ_g приведены с учетом фарадеевского вращения в ионосфере. Вычислим минимальную по абсолютной величине меру вращения RM и собственный позиционный угол χ_{g0} (то есть χ_g при $\lambda \rightarrow 0$) методом наименьших квадратов с учетом весов по данным табл., исходя из зависимости $\chi_g = \text{RM}\lambda^2 + \chi_{g0}$.

Частота ν , МГц	Ширина луча в E и H -плоскостях на уровне 0,5 по мощности	Поляризационная яркостная температура T_b^p , К	Позиционный угол в галактической системе координат χ_g
238	$6^{\circ}25' \times 6^{\circ}25'$	$2,9 \pm 0,4$	
290	$5^{\circ}10' \times 5^{\circ}10'$	$3,9 \pm 0,7$	$114 \pm 12^{\circ}$
408	$5^{\circ}10' \times 5^{\circ}10'$	$5,4 \pm 1,2$	$98 \pm 15^{\circ}$
910	$2^{\circ}25' \times 2^{\circ}25'$	$1,31 \pm 0,07$	$73 \pm 3^{\circ}$
1250	$2^{\circ}15' \times 2^{\circ}11'$	$0,56 \pm 0,15$	$59 \pm 15^{\circ}$
1407	$2^{\circ}00' \times 1^{\circ}51'$	$0,27 \pm 0,03$	$57 \pm 9^{\circ}$



В результате получим $RM=0,84\pm 0,19$ рад/м², $\chi g_0=66\pm 3^\circ$, при этом $\chi_2=2,6$. Однако ввиду высокой степени упорядоченности магнитного поля в СПВ целесообразно аппроксимировать зависимость χg от λ_2 соотношением для однородной области излучения: $\chi g(\lambda_2)=\chi g_0+RM\lambda_2-(\pi/2)E(2RM\lambda_2/\pi)$, где $E(x)=-E(-x)$ есть целая часть аргумента x [3]. При этом предполагается, что область излучения простирается вплоть до наблюдателя (то есть все фарадеевское вращение является внутренним по отношению к области излучения). В таком случае получим $RM=4,09\pm 0,12$ рад/м², $\chi g_0=48\pm 2^\circ$ (направление магнитного поля $138\pm 2^\circ$), при этом $\chi_2=1,0$ вместо 2,6 для простой зависимости. Соответствующая модели однородной области аппроксимация величин T_{br} из табл. (рис.) с использованием формулы (5) из [4] (т.е. с учетом фарадеевской деполяризации в полосе приема прямоугольной формы) дает $RM=4,06$ рад/м² и температурный спектральный индекс $\beta=3,3$ при $\chi_2=7,2$. Видно, что значения RM , полученные по χg и по T_{br} , практически совпадают. Анализ показывает, что первый минимум T_{br} со стороны высоких частот (рис.) соответствует частоте 482 МГц. Мы планируем проверить это предсказание модели.

Работа выполнена при поддержке Минпроннауки (уник. установка 06-29) и гранта РФФИ (проект 03-02-16685).

- [1] Виняйкин Е.Н., Пасека А.М., Разин В.А., Формозов Б.С. //В кн.: Тр. 6-й науч. конф. по радиофизике. 7 мая 2002 г. /Ред. А.В.Якимов. –Н.Новгород: ТАЛАМ, 2002, с.108.
- [2] Бочкарев Н.Г. Местная межзвездная среда. – М.: Наука, 1990, 192 с.
- [3] Виняйкин Е.Н. //Астрон. ж. 1995. Т.72, №5. С.674.
- [4] Vinyajkin E.N., Razin V.A. //В кн.: Astrophysical Polarized Backgrounds./Eds. S.Cecchini, S.Cortiglioni, R.Sault, C.Sbarra. –Melville, New York, AIP, 2002, с.26.